

乙醇基溶胶-凝胶法制备 BNKLT 粉体及压电陶瓷

姜 宁¹,廖运文^{1,2},张林慧¹,王文芳¹,李 伟¹,刘育芳¹

(1. 化学合成与污染控制 四川省重点实验室,四川 南充 637009;2. 西华师范大学 应用化学研究所,四川 南充 637009)

摘要:以乙醇为溶剂,氧化物和碳酸盐为原料,采用溶胶-凝胶(Sol-Gel)法制备了 $\text{Bi}_{0.5}(\text{Na}_{0.7}\text{K}_{0.2}\text{Li}_{0.1})\text{TiO}_3$ (BNKLT)纳米粉体和无铅压电陶瓷。利用 IR, TG-DSC, XRD, SEM 等测试技术研究了乙醇基 Sol-Gel 法制备 BNKLT 纳米粉体及无铅压电陶瓷的工艺参数。实验表明,乙酰丙酮与钛酸四丁酯的摩尔比 $N \geq 1.0$ 时,反应温度 60°C , $\text{pH}=2.0 \sim 2.5$ 时,能制备出稳定性良好的乙醇基溶胶,凝胶在 600°C 内预烧即可获得单一钙钛矿结构的 BNKLT 纳米粉体,晶粒大小约 $\varnothing 20\text{ nm}$,并于 1050°C 条件下烧结出致密度较高的陶瓷。性能测试表明,该方法制备的压电陶瓷具有优良的电学性能:压电常数 $d_{33}=192\text{ pC/N}$,机电耦合系数 $k_p=0.32$,介电常数 $\epsilon_r=1096$,介电损耗 $\tan \delta=0.039$,品质因数 $Q_m=79$ 。

关键词:乙醇;溶胶-凝胶(Sol-Gel)法; $\text{Bi}_{0.5}(\text{Na}_{0.7}\text{K}_{0.2}\text{Li}_{0.1})\text{TiO}_3$; 纳米粉体;无铅压电陶瓷

中图分类号: TN384 文献标识码: A

BNKLT Nano Powders and Lead-free Piezoelectric Ceramics Prepared by Ethanol-based Sol-Gel Method

JIANG Ning¹, LIAO Yunwen^{1,2}, ZHANG Linhui¹, WANG Wenfang¹, LI Wei¹, LIU Yufang¹

(1. Chemical Synthesis and Pollution Control Key Lab. of Sichuan Province, Nanchong 637009, China;

2. Institute of Applied Chemistry, China West Normal University, Nanchong 637009, China)

Abstract: Using ethanol as the solvent, oxides and carbonates as starting materials, the nano-powders and lead-free piezoelectric ceramics of $\text{Bi}_{0.5}(\text{Na}_{0.7}\text{K}_{0.2}\text{Li}_{0.1})\text{TiO}_3$ (BNKLT) were prepared by Sol-Gel method. Using the IR, TG-DSC, XRD, SEM and so on, the influence of process parameters on the nano-powders and lead-free piezoelectric ceramics by ethanol-based Sol-Gel method were studied. Experimental results showed that the stable, clear, transparent sol can be prepared when the stoichiometry of acetylacetone and tetrabutyl titanate is ($N \geq 1.0$), the reaction temperature $\geq 60^\circ\text{C}$ and $\text{pH}=2.0 \sim 2.5$. The BNKLT nano-powders with pure perovskite structure were prepared at 600°C , and the grain size of powders was about 20 nm , and the dense ceramics of BNKLT were sintered at 1050°C . Performance tests showed that piezoelectric ceramics were prepared by this method which have excellent electrical properties of $d_{33}=192\text{ pC/N}$, $k_p=0.32$, $\epsilon_r=1096$, $\tan \delta=0.039$, $Q_m=79$.

Key words: ethanol; Sol-Gel method; $\text{Bi}_{0.5}(\text{Na}_{0.7}\text{K}_{0.2}\text{Li}_{0.1})\text{TiO}_3$; nano powders; lead-free piezoelectric ceramics

0 引言

压电陶瓷在电子和微电子、超声换能、无损检测等领域应用广泛,是一类重要的高技术功能材料^[1]。现今应用的压电陶瓷主要是 $\text{Pb}(\text{Zr}, \text{Ti})\text{O}_3$ 体系的铅基压电陶瓷,但其体系中含有约 70% 的铅类氧化物,在制备、使用和废旧处理过程中会给人类和环境带来严重危害,因此,研究和开发环境协调型的无铅压电陶瓷具有重要意义^[2-4]。在无铅压电陶瓷体系中, $\text{Bi}_{0.5}\text{Na}_{0.5}\text{TiO}_3$ (BNT) 体系的无铅压电陶瓷因其

有良好的电学性能,低温烧结,良好的声学性能,使其研究广,极具潜力取代传统的铅基压电陶瓷。其中 $\text{Bi}_{0.5}(\text{Na}_{1-x-y}\text{K}_y\text{Li}_x)_{0.5}\text{TiO}_3$ (BNKLT) 系列以较低的烧结温度,优异的电学性能而备受关注^[5-7]。获取高性能压电陶瓷的关键因素之一是其粉体的制备,当今压电陶瓷粉体的制备主要采用固相合成法,其粉体的制备预烧温度高,组分不均,且需长时间保温,耗时耗能等^[8-9]。溶胶-凝胶(Sol-Gel)法制备技术能克服以上缺点,如组分均匀,低温煅烧,可制取

收稿日期:2012-04-29

基金项目:四川省应用基础研究基金资助项目(2011JY0058)

作者简介:姜宁(1983-),男,山东荣成人,硕士生,主要从事功能材料的研究。通信作者:廖运文(1971-),男,重庆开县人,教授,博士,主要从事功能和催化材料的研究,E-mail:liao-yw@163.com。

纳米粉体等。但文献报道的 Sol-Gel 法以乙二醇或乙二醇甲醚及高级醇等为溶剂, 醋酸盐为原料, 造价高, 污染重, 难以实用化^[10-14]。因此, 本文采用廉价的低级醇乙醇作溶剂, 无机盐为原料, 探索一条低成本、实用化、稳定性好的 Sol-Gel 法工艺路线, 以期制备出 BNKLT 纳米粉体和无铅压电陶瓷。

1 实验

1.1 BNKLT 溶胶和凝胶的制备

将 Bi_2O_3 溶于浓硝酸中, 至无色澄清透明后冷却, 再将碳酸盐(Na, K, Li)的醋酸溶液加入其中, 获得 A 液。按乙酰丙酮与钛酸四丁酯的摩尔比为 0.5 ~ 3.0, 取定量乙酰丙酮加于钛酸四丁酯中, 加适量乙醇搅匀, 获得 B 液。60 °C 下, 将 B 液加入 A 液后, 用氨水调 pH = 2.0 ~ 2.5, 并补加适量乙醇, 搅拌至混合液呈黄色澄清透明, 放置陈化后得 BNKLT 溶胶, 配制溶胶浓度为 0.20 ~ 0.25 mol/L, 丁达尔效应明显。溶胶于 60 ~ 80 °C 除溶剂后得金黄色透明状凝胶, 凝胶 110 °C 预处理后得灰色自燃物。

1.2 BNKLT 纳米粉体及陶瓷的制备

将凝胶自燃后的灰色粉末于 600 °C 下预烧 1 h 后得 BNKLT 白色的纳米粉体, 取其纳米粉体, 经造粒, 压片, 排塑后于 1 050 °C 下烧结 1 ~ 2 h 得到 BNKLT 陶瓷。陶瓷经涂银、烧银后, 常温下, 硅油浴中施加 3.5 ~ 4.0 kV/mm 直流电场, 极化 20 min, 静置后测试电学性能。

1.3 样品的测试与表征

用 Nicolet360 型傅里叶红外光谱仪(IR)分析 BNKLT 凝胶分子结构, NETZSCH STA 449 F3 型同步热分析仪(TG-DSC)分析其粉体的预烧温度, D/MAX Ultima IV 型 X 线衍射仪(XRD)确定粉体及陶瓷的晶相结构, JSM-6510 型扫描电子显微镜(SEM)观察各样品微观形貌, HP4294A 型精密阻抗分析仪, TH2816B 型精密数字电桥, ZJ-3AN 型准静态 d_{33} 测量仪测试 BNKLT 无铅压电陶瓷的电学性能。

2 实验结果与讨论

2.1 乙酰丙酮与 Ti^{4+} 的摩尔比 N 及溶胶的 pH

表 1 为不同工艺参数下制备出 BNKLT 溶胶的状态。由表可知, N 值宜取 1.0 ~ 1.5, 乙酰丙酮的量少了, 制备不出溶胶, 钛酸四丁酯水解产生部分沉

淀, 乙酰丙酮的量过多, 虽然可制备出稳定的溶胶, 但浪费试剂; 且最好的成胶 pH = 2.0 ~ 2.5, pH 过低, 钛酸四丁酯难以水解, 过高则溶胶不稳定, 易聚沉。

表 1 工艺参数对溶胶状态的影响

参数	N 值		pH 值	
	<1.0	≥ 1.0	≤ 2.5	>2.5
状态	有沉淀	澄清	澄清	易沉淀

2.2 BNKLT 凝胶的红外光谱(IR)

图 1 为 BNKLT 干凝胶的红外光谱图。由图可看出, 以 Ti^{4+} 为中心的凝胶空间网络结构已完全形成, 3419.69 cm^{-1} 为凝胶吸附水中的羟基振动吸收峰, 3133.46 cm^{-1} 的峰则表明为凝胶呈环状结构, 2424.57 cm^{-1} 和 1763.75 cm^{-1} 处的弱峰为 C—H 的伸缩振动和 C = O 不对称伸缩振动峰, 1384.62 cm^{-1} 处的强峰为甲基($-\text{CH}_3$)的特征峰, 1064.38 cm^{-1} 和 1003.38 cm^{-1} 为—C—C—键的伸缩振动峰, 828.36 cm^{-1} 附近的峰是—NO₃—的特征峰, 表明硝酸根完全进入凝胶的骨架中, 参与凝胶的形成^[15-16]; 而低波数段的峰为—O—Ti—O—键的伸缩振动及 M—O—键吸附金属离子所致等(M 为 Na, K, Li, Bi)^[17-18]。

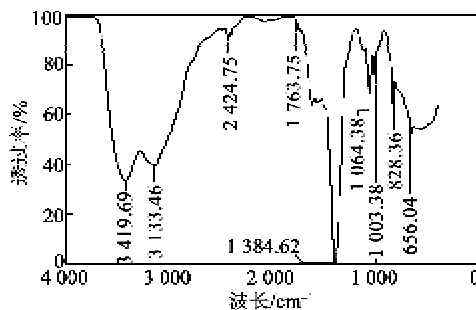


图 1 BNKLT 凝胶红外光谱(IR)

2.3 BNKLT 凝胶的同步热分析仪(TG-DSC)曲线

图 2 为 BNKLT 干凝胶的同步热分析仪(TG-DSC)曲线。由图中 TG 曲线说明, 干凝胶有较大的质量失重, 总失重为 -81.16%, 400 ~ 500 °C 为 -0.89%, 500 ~ 600 °C 为 -0.51%, 600 ~ 650 °C 为 -0.06%, 600 °C 后试样失重率已很低了, 质量变化趋于稳定, 因此粉体的预烧温度 ≥ 600 °C 即可。由图中 DSC 曲线可知, 凝胶在 115.5 °C 有一定的吸热量, 主要是凝胶中吸附水的挥发需吸收一定热量, 212.7 °C 时凝胶急剧放热, 源于凝胶中硝酸铵类物质的燃烧所致, 159.0 °C 凝胶有较大的放热量, 放热

峰弱且较宽,源于凝胶中碳类有机物的缓慢燃烧所致,因此粉体预烧时需要在此温度下适当的短时间保温,600 °C后的DSC曲线趋于稳定,这与TG分析一致。因此粉体的预烧温度选择600 °C即可。

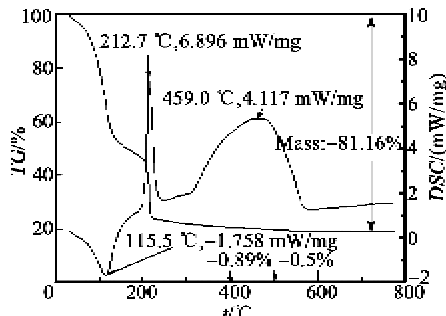


图2 BNKLT凝胶TG-DSC曲线

2.4 BNKLT粉体及陶瓷的XRD

图3为粉体和陶瓷的XRD图。由图3(a)可看出,600 °C下预烧1 h可制备出单一的钙钛矿结构的纳米粉体,这与TG-DSC曲线分析一致。根据Scherrer的晶粒估算公式:

$$D = K\lambda/B \cos \theta \quad (1)$$

式中: K 为Scherrer常数,取0.89; D 为晶粒尺寸; B 为积分半高宽度; θ 为衍射角,估算时需转化为弧度; λ 为X线波长,实验为Cu靶, λ 取0.154 056 nm,估算出其粉体的晶粒尺寸约20 nm。由图3(b)可知,说明由乙醇基Sol-Gel法制备的BNKLT的生坯片在较低温度(1 050 °C)下烧结即可获得结晶良好的单一钙钛矿相陶瓷。

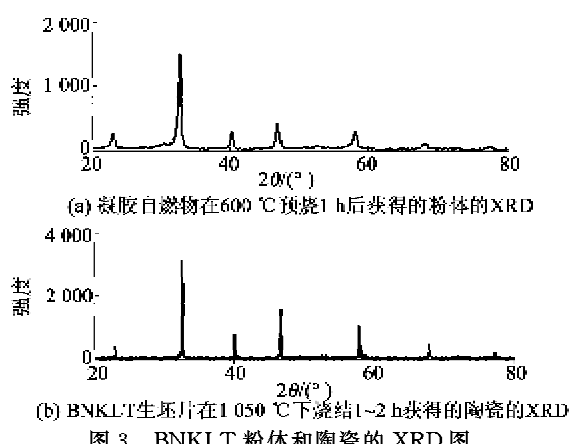


图3 BNKLT粉体和陶瓷的XRD图

2.5 BNKLT粉体及陶瓷的SEM

图4为粉体和陶瓷的SEM图。由图4(a)、(b)可知,所制得的纳米粉体颗粒为 \varnothing (100~200) nm,颗粒大小和XRD晶粒尺寸估算有差异,说明其纳米粉体有一定的团聚现象。由图4(c)、(d)可知,由

乙醇基Sol-Gel法制备的陶瓷表面和横截面均较致密,陶瓷晶粒大小均一,约为 \varnothing (1.5~2.0) μm,说明采用该方法陶瓷的烧结温度低于传统固相合成法(约为1 100 °C)的烧结温度。

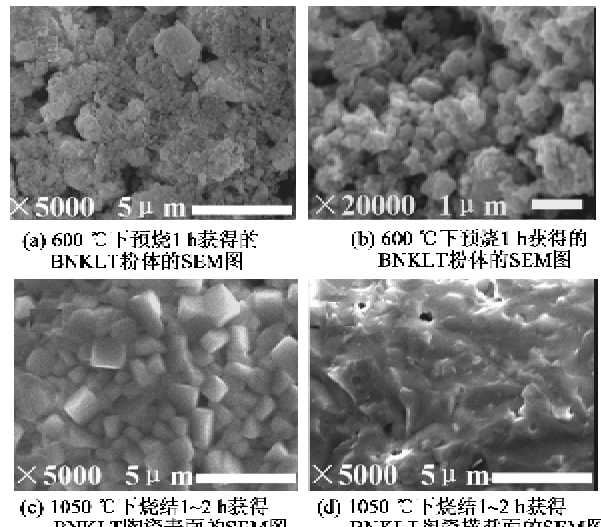


图4 粉体和陶瓷的SEM图

2.6 BNKLT无铅压电陶瓷的电学性能

表2为经由乙醇基溶胶-凝胶法制备的BNKLT无铅压电陶瓷在常温条件下极化20 min的电学性能数据,说明1 050 °C烧结的瓷片经常温短时间内即可极化出性能良好的压电陶瓷。

表2 BNKLT无铅压电陶瓷的电学性能表

$d_{33}/(\text{pC/N})$	k_p	ϵ_r	$\tan \delta$	Q_m
192	0.32	1 096	0.039	79

3 结束语

本文采用廉价的乙醇作溶剂,氧化物和碳酸盐为原料,取代了污染度较高且昂贵的高级醇和有机盐,探索出一条低成本、环境友好的溶胶-凝胶工艺路线,在较低温度下制备出了BNKLT纳米粉体和陶瓷(陶瓷传统固相合成法烧结温度 $\geq 1 100$ °C,其粉体预烧温度 ≥ 800 °C)和极化的常温化。分析出乙醇基溶胶-凝胶法制备BNKLT无铅压电陶瓷的最佳工艺条件: N 值宜取1.0~1.5,溶胶成胶pH宜取2.0~2.5,粉体预烧为600 °C、1 h,陶瓷的烧结温度为1 050 °C、1~2 h,常温下极化。

参考文献:

- [1] 贾敦敏,肖全,朱建国,等.无铅压电陶瓷研究开发进展[J].压电与声光,2003,25(2):127-132.
JIA Dunmin, XIAO Dingquan, ZHU Jianguo, et al. Re-

- cent progresses of lead-free piezoelectric ceramics[J]. *Piezoelectrics & Acoustooptics*, 2003, 25(2): 127-132.
- [2] 贺敦敏,肖定全,朱建国,等.从发明专利看无铅压电陶瓷的研究与发展-无压电陶瓷20年发明专利分析之一[J].功能材料,2003,34(3):250-253.
- [3] 郝俊杰,李龙士,王晓慧,等.无铅压电陶瓷材料的研究现状[J].硅酸盐学报,2004,32(2):189-195.
- [4] TSURUMI T, HOSHINA T, TAKEDA H, et al. Problems and future of lead-free piezoelectric materials [J]. *Materials Integration*, 2011, 24(12): 62-72.
- [5] LIN Dunmin, XIAO Dingquan, ZHU Jianguo, et al. Piezoelectric and ferroelectric properties of $\text{Bi}_{0.5}(\text{Na}_{1-x-y}\text{K}_x\text{Li}_y)_{0.5}\text{TiO}_3$ lead-free piezoelectric ceramics [J]. *Appl Phys Lett*, 2006, 88(6): 062901/1-3.
- [6] LIAO Yunwen, XIAO Dingquan, LIN Dunmin, et al. The effects of CeO_2 -doping on piezoelectric and dielectric properties of $\text{Bi}_{0.5}(\text{Na}_{1-x-y}\text{K}_x\text{Li}_y)_{0.5}\text{TiO}_3$ piezoelectric ceramics[J]. *Materials Science & Engineering, B: Solid-State Materials for Advanced Technology*, 2006, 133(1/3): 172-176.
- [7] LIN Dunmin, KWOK K W. Ferroelectric and piezoelectric properties of $[(\text{Bi}_{0.98}\text{La}_{0.02}\text{Na}_{1-x}\text{Li}_x)_{0.94}\text{Ba}_{0.06}\text{TiO}_3]$ lead-free ceramics[J]. *Journal of Materials Science*, 2009, 44(18): 4953-4958.
- [8] 肖定全.关于无铅压电陶瓷及其应用的几个问题[J].电子元件与材料,2004,11(23):62-65.
- [9] 廖运文,肖定全.无铅 $\text{Bi}_{0.5}(\text{Na}_{1-x-y}\text{K}_x\text{Li}_y)_{0.5}\text{TiO}_3$ 陶瓷的制备工艺研究[J].压电与声光,2009,31(2):277-279.
- LIAO Yunwen, XIAO Dingquan. Study on the preparation technique of $\text{Bi}_{0.5}(\text{Na}_{1-x-y}\text{K}_x\text{Li}_y)_{0.5}\text{TiO}_3$ leadless piezoelectric ceramics[J]. *Piezoelectrics & Acoustooptics*, 2009, 31 (2):277-279.
- [10] 符春林,蔡苇,邓小玲,等.溶胶-凝胶法制备铁电薄膜材料研究进展[J].无机盐工业,2008,6(40):9-12.
- [11] 齐兵,何夕云,丁爱丽,等.水基溶胶-凝胶法制备 $\text{Ba}_{0.5}\text{Sc}_{0.5}\text{TiO}_3$ 薄膜及其介电性能研究[J].无机材料学报,1998,13(3):389-395.
- [12] CHEN Xiaoming, LIAO Yunwen, WANG Huaiping, et al. Phase structure and electric properties of $\text{Bi}_{0.5}(\text{Na}_{0.82}\text{K}_{0.17})_{0.5}\text{TiO}_3$ ceramics prepared by a Sol-Gel method[J]. *Journal of Alloys and Compounds* 2009, 493(1/2):368-371.
- [13] WU Yunyi, WANG Xiaohui, LI Longtu. Effect of Sc doping on the structure and electrical properties of $(\text{Na}_{0.85}\text{K}_{0.15})_{0.5}\text{Bi}_{0.5}\text{TiO}_3$ thin films prepared by Sol-Gel processing[J]. *Journal of the American Ceramic Society*, 2011, 94(8):2518-2522.
- [14] CERNEA M, VASILE B S, CAPIANI C, et al. Dielectric and piezoelectric behaviors of NBT-BT_{0.05} processed by Sol-Gel method[J]. *Journal of the European Ceramic Society*, 2012, 32(1):133-139.
- [15] 林贤福.现代波普分析法[M].上海:华东理工大学出版社,2009.
- [16] PARK Y I, KIM C E, LEE H W. Effects of catalyst and solvent on PbTiO_3 fibers prepared from triethanolamine complexed titanium isopropoxide[J]. *Journal of Sol-Gel Science and Technology*, 1999, 14 (2): 149-162.
- [17] KIM C E, PARK Y I, LEE H W. Preparation of $\text{Pb}-\text{TiO}_3$ fibers using triethanolamine-complexed alkoxide. department of ceramic engineering[J]. *Journal of Materials Science Letters*, 1997, 16(2):96-100.
- [18] KITAOKA K, TAKAHARA K, KOZUKA H, et al. Sol-Gel processing of transparent PLZT ($(\text{Pb}, \text{La})(\text{Zr}, \text{Ti})\text{O}_3$) fibers. [J] *Journal of Sol-Gel Science and Technology*, 1999, 16(1/2):183-193.

(上接第 268 页)

- [15] 李月明,陈文,徐庆,等. Sb_2O_3 掺杂 $(\text{Na}_{0.84}\text{K}_{0.16})_{0.5}\text{Bi}_{0.5}\text{TiO}_3$ 无铅压电陶瓷的压电与介电性能研究[J].稀有金属材料与工程,2006,35(2):273-276.
- [16] 樊慧庆,邹敏江.掺杂三氧化二锑的钛酸铋钠钾陶瓷的显微结构和电学性能[J].硅酸盐学报,2012,40(4):529-533.
- [17] YOSHII K, HIRUMA Y, NAGATA H, et al. Electrical properties and depolarization temperature of $(\text{Bi}_{1/2}\text{Na}_{1/2})\text{TiO}_3-(\text{Bi}_{1/2}\text{K}_{1/2})\text{TiO}_3$ lead-free piezoelectric ceramics [J]. *Jpn J Appl Phys*, 2006, 45 (5B): 4493-4496.
- [18] 宋瑞雪,李会录,程卫星,等.NBT-KBT-BT 系弛豫铁电体的弥散相变研究[J].压电与声光,2007,29 (6): 713-716.
- SONG Ruixue, LI Huiliu, CHENG Weixing, et al. Investigation on Diffuse Phase Transition of NBT-KBT-BT Ferroelectric Relaxors [J]. *Piezoelectrics & Acoustooptics*, 2007, 29(6):713-716.
- [19] ZHOU Q, ZHOU C R, LI W Z, et al. Microstructure and piezoelectric properties of $\text{Bi}_{0.5}(\text{Na}_{0.82}\text{K}_{0.18})_{0.5}\text{TiO}_3-\text{NaSbO}_3$ ceramics [J]. *Journal of Physics and Chemistry of Solids*, 2011, 72:909-913.
- [20] SETTER N, CROSS L E. The role of B-site cation disorder in diffuse phase transition behavior in ferroelectrics [J]. *J Appl Phys*, 1980, 51(8):4356-4360.